

СУЛЬФИДНАЯ ПАССИВАЦИЯ ПОВЕРХНОСТИ АРСЕНИДА ИНДИЯ

Ю. А. Кудрявцев, Е. Б. Новиков, Н. М. Стусь, Е. И. Чайкина

Физико-технический институт им. А. Ф. Иоффе Российской академии наук, 194021, Санкт-Петербург,
Россия

(Получена 12.04.1992. Принята к печати 17.04.1992)

Исследовано влияние сульфидной пассивации на фотолюминесцентные свойства InAs и твердых растворов на его основе в зависимости от ориентации поверхности. С помощью метода рентгеновской фотоэлектронной спектроскопии изучены химические связи, образующиеся при сульфидировании на поверхности InAs. Оказалось, что на стороне (111) A образуются как In—S-, так и As—S-связи, в то время как на стороне (111) B — только As—S-связи. Показано, что улучшение фотолюминесцентных свойств связано с уменьшением содержания на поверхности оксидов и элементарного мышьяка. Установлено, что после сульфидной обработки плотность поверхностных состояний уменьшается примерно на порядок.

Введение. Арсенид индия и твердые растворы на его основе находят в настоящее время широкое применение при создании оптоэлектронных приборов для спектрального диапазона 2–5 мкм. Эти приборы используются в различных устройствах, предназначенных для газового анализа. К сожалению, высокая скорость поверхностной рекомбинации, свойственная полупроводникам $A^{III}B^V$, заметно ухудшает многие параметры приборов на основе InAs и не позволяет в полной мере реализовать все возможности этого полупроводника.

В последние годы активно разрабатывается метод сульфидной пассивации, позволяющий заметно улучшить электронное качество поверхности полупроводников $A^{III}B^V$ [1]. Большинство работ по сульфидированию полупроводников было выполнено на GaAs и InP. В настоящее время авторам известны лишь две работы, посвященные сульфидной обработке InAs [2, 3], в которых были рассмотрены вопросы, касающиеся влияния сульфидирования на высоту потенциального барьера в диодах Шоттки, термической стабильности пассивирующего покрытия, изучена поверхностная структура InAs (100). Однако до сих пор остается неясным вопрос о том, какие именно химические связи, образующиеся на поверхности, обеспечивают улучшение свойств InAs.

Данная работа посвящена изучению влияния сульфидной пассивации на фотолюминесцентные свойства InAs и твердых растворов на его основе в зависимости от ориентации поверхности, а также исследованию химических связей, образующихся на поверхности полупроводника в процессе сульфидирования.

1. Методика эксперимента

Исследования проводились на монокристаллических пластинах InAs *n*-типа, ориентированных по плоскостям (100), (110) и (111). Концентрация мелких нескомпенсированных доноров N_D в образцах изменялась в пределах $2 \cdot 10^{16} \div 1 \cdot 10^{17} \text{ см}^{-3}$. Кроме того, изучались твердые растворы InAsSbP, выращенные методом жидкофазной эпитаксии: регистрировались спектры фотолюминесценции гетероструктур, представляющих собой подложку *n*-InAs с концентрацией $n = 2 \cdot 10^{16} \text{ см}^{-3}$, эпитаксиальный слой *n*-InAs толщиной 12 мкм с концентрацией

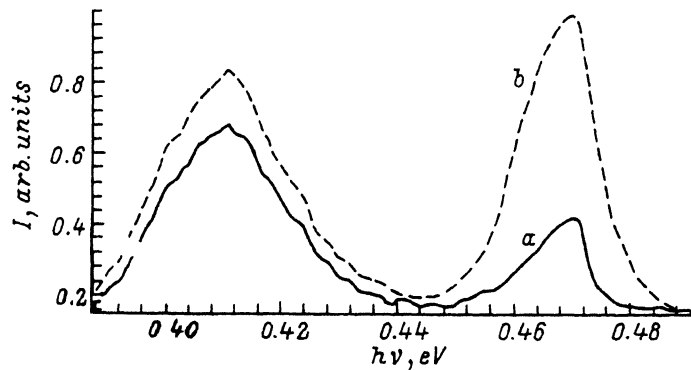


Рис. 1. Спектры фотолюминесценции гетероструктуры p -InAsSbP/ n -InAS/ n -InAs, снятые до (a) и после (b) сульфидирования. $T = 77$ К.

$n \sim 10^{15}$ см $^{-3}$ и эпитаксиальный слой p -InAs $_{1-x-y}$ Sb $_x$ P $_y$ ($x \sim 0.06$, $y \sim 0.12$) толщиной 3÷4 мкм с концентрацией $p \sim 10^{17}$ см $^{-3}$. Непосредственно перед сульфидированием образцы травились в HF : CH₃COOH : HNO₃ (1 : 1 : 3) при комнатной температуре в течение 30 с. Сульфидирование проводилось в однонормальном водном растворе сульфида натрия. Процедура сульфидирования была аналогична описанной в работе [4].

Спектры фотолюминесценции снимались на стандартной автоматизированной установке. Возбуждение неравновесных носителей производилось аргоновым лазером с длиной волны $\lambda = 0.48$ мкм. В качестве приемника излучения использовался охлаждаемый InAsSbP/InAs-фотодиод. Измерения производились при температуре жидкого азота.

С целью получения информации о химическом составе поверхности образцы исследовались методом рентгеновской фотоэлектронной спектроскопии. Фотоэлектронные спектры снимались на спектрометре Perkin—Elmer PHI 5400 с использованием рентгеновского источника Mg—K α ($\hbar\nu = 1253.6$ эВ) мощностью 300 Вт. Угол падения рентгеновского излучения на поверхность кристалла составлял 45°. Для калибрования спектров использовалась линия C1s с энергией связи 284.6 эВ. Во время измерений остаточное давление газов в камере аналатора составляло $\sim 3 \cdot 10^{-9}$ Па. Обработка спектров проводилась с использованием стандартного программного обеспечения фирмы Perkin—Elmer.

2. Экспериментальные результаты

a) **Фотолюминесценция.** Изучалась фотолюминесценция InAs (100), (110), (111)A и (111)B. Спектры фотолюминесценции полупроводника в исходном несульфированном, состоянии представляли собой типичные спектры, характерные для указанного уровня легирования: одна линия с энергией максимума $\hbar\nu = 410$ мэВ и полушириной 25 мэВ [5]. После сульфидной обработки изменения формы спектра и смещения максимума интенсивности линии излучения не наблюдалось. В то же время было обнаружено значительное возрастание интенсивности фотолюминесценции. Степень увеличения интенсивности оказалась зависящей от ориентации поверхности InAs. Максимальное увеличение интенсивности фотолюминесценции примерно в десять раз обнаружено на стороне (111)B. На стороне (111)A величина сигнала возрастает примерно в 6 раз. Для ориентации (110) и (100) после сульфидной обработки фотолюминесценция увеличивается в 3 и 8 раз соответственно.

Исходный спектр фотолюминесценции гетероструктуры InAsSbP/InAs состоит из двух линий с энергиями максимумов $\hbar\nu = 410$ и 470 мэВ (рис. 1). Высоко-

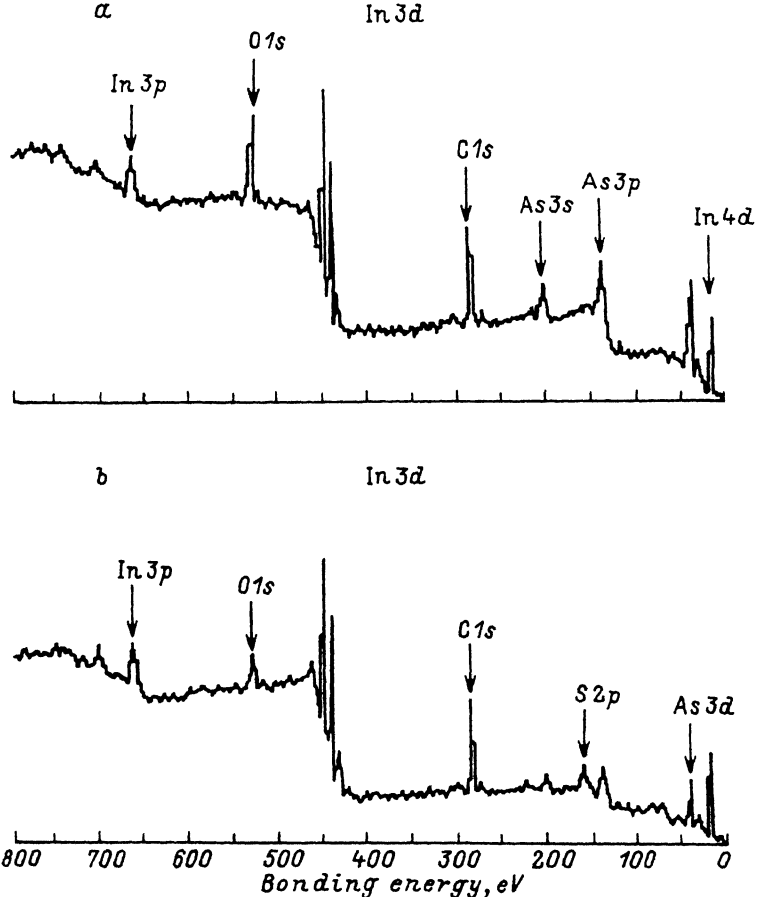


Рис. 2. Обзорные фотоэлектронные спектры InAs(111)A, снятые до (а) и после (б) сульфидирования.

энергетическая часть спектра обусловлена излучением эпитаксиального слоя InAsSbP, в то время как низкоэнергетическая определяется излучением InAs, проходящим через слой твердого раствора, который является в данном случае широкозонным окном. Из рис. 1 видно, что интенсивность линии твердого раствора, которая в исходном спектре была ниже интенсивности излучения эпитаксиального InAs, после сульфидирования существенно увеличивается по сравнению с практически неизменной интенсивностью низкоэнергетической части спектра.

б) Рентгеновская фотоэлектронная спектроскопия. На рис. 2 представлены обзорные фотоэлектронные спектры поверхности (111)A арсенида индия в области энергий связи 0÷800 эВ, снятые до (а) и после (б) сульфидной обработки. Фотоэлектронные спектры несульфидированного InAs содержат, кроме линий As и In, линию кислорода, наличие которой связано с существованием на поверхности полупроводника слоя естественного окисла. Присутствие углерода на поверхности обусловлено загрязнением образцов, находившихся перед измерениями на воздухе. После сульфидирования в спектре появляется новая линия с энергией связи 161.5 эВ, соответствующая электронной 2p-оболочке атома серы, кроме того, примерно в 1.5 раза уменьшается интенсивность линии 0 1s.

Для того, чтобы установить, какие именно химические связи образовывались между серой и InAs в процессе сульфидирования, снимались более подробные

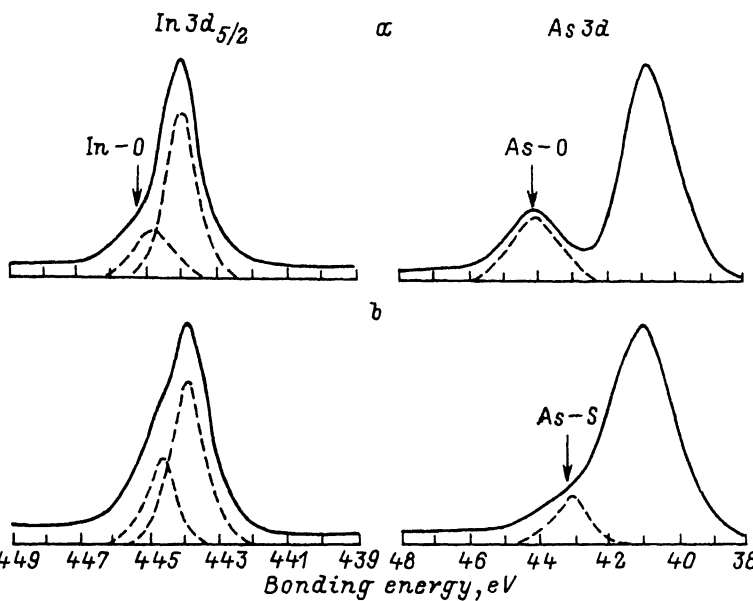


Рис. 3. Фотоэлектронные спектры с высоким разрешением $InAs\ 3d_{5/2}$ - и $As\ 3d$ -электронов $InAs\ (111)A$, снятые до (*a*) и после (*b*) сульфидирования.

спектры отдельных электронных оболочек. На рис. 3 представлены фотоэлектронные спектры $In\ 3d_{5/2}$ и $As\ 3d$ электронов с поверхности $(111)A$. В линии $In\ 3d_{5/2}$ до сульфидирования можно выделить пик, соответствующий окисленному состоянию индия (In^{3+}). После обработки высокоэнергетичное плечо заметно увеличивается, что связано, по-видимому, с образованием на поверхности сульфидов индия.

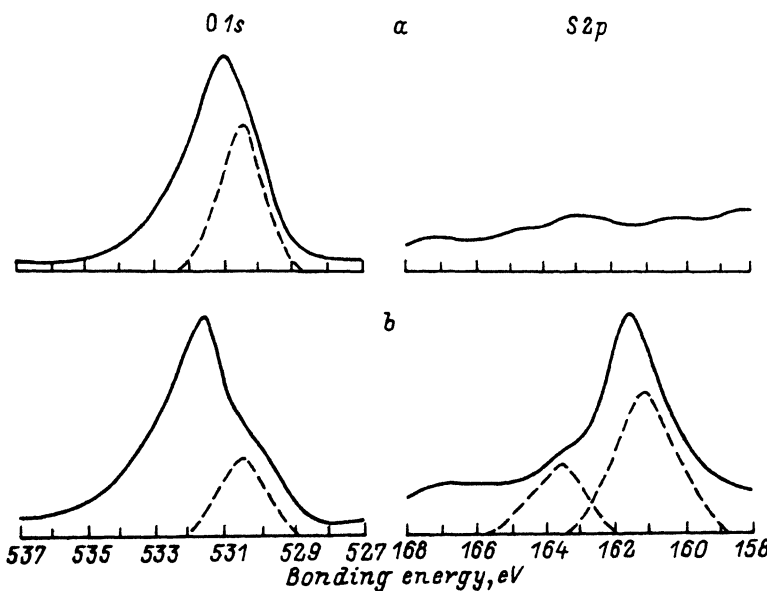
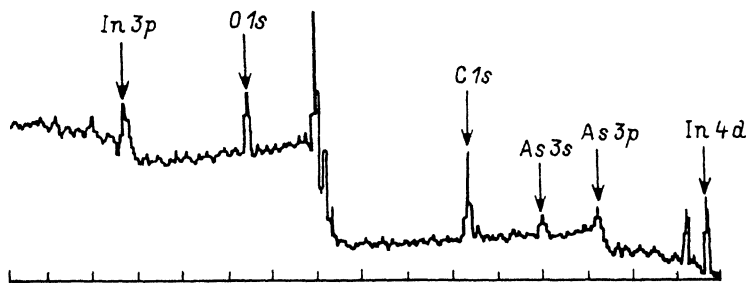


Рис. 4. Фотоэлектронные спектры с высоким разрешением $O\ 1s$ - и $S\ 2p$ -электронов $InAs\ (111)A$ и $(111)B$, снятые до (*a*) и после (*b*) сульфидирования.

a.

In 3d



b

In 3d

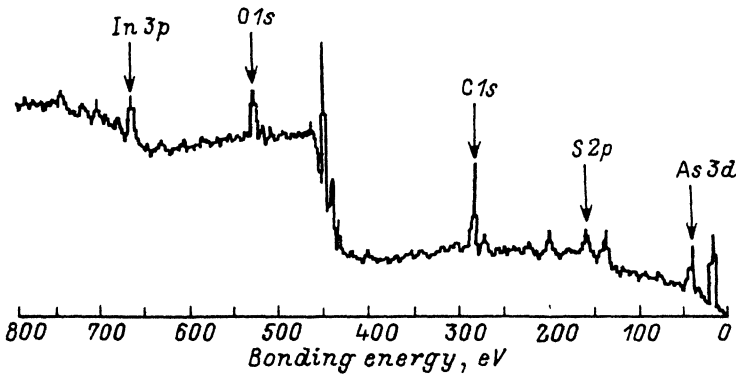


Рис. 5. Обзорные фотоэлектронные спектры InAs (111)B, снятые до (а) и после (б) сульфидирования.

В линии As 3d до обработки ясно различаются два пика: объемный (находящийся в соединении с индием) мышьяк с энергией связи 40.6 эВ и оксид мышьяка (As^{3+}) с энергией связи 44.0 эВ. Отметим, что в состав естественного окисла не входит (по крайней мере в сколь-нибудь заметном количестве) соединение As_2O_5 , характеризующееся энергией связи электронов ~ 46.0 эВ. После сульфидирования спектральная линия с энергией 44.0 эВ не наблюдается, что свидетельствует об исчезновении с поверхности окисного слоя. В то же время появляется линия с энергией ~ 43.0 эВ, соответствующая соединению As_2S_3 .

На рис. 4 приведены спектральные линии O 1s- и S 2p-электронов. Форма этих линий практически одинакова для сторон (111)A и (111)B. Анализ спектральных данных показывает, что перед сульфидированием поверхность InAs была покрыта окисным слоем, состоящим из оксидов In и As, толщиной ~ 30 Å. После сульфидной обработки интенсивность линии O 1s уменьшается [на стороне (111)B уменьшение более заметно, чем на стороне (111)A], кроме того, максимум линии кислорода смещается в сторону больших энергий, также показывая, что количество оксидов на поверхности InAs уменьшается. Присутствие остаточного пика O 1s связано в основном с кислородом, физсорбированным на поверхности (например, в виде гидрооксильных групп или окислов углерода). Линия S 2p, проявляющаяся в спектре после обработки, включает в себя как сульфиды (S^{2-}) с энергией 160.5 ± 161.5 эВ, так и элементарную серу (S^0) 163.5 эВ. Следует отметить, что оксиды серы (S^{2+}), которым соответствуют пики с энергией связи 165 ± 169 эВ, на поверхности не обнаружены.

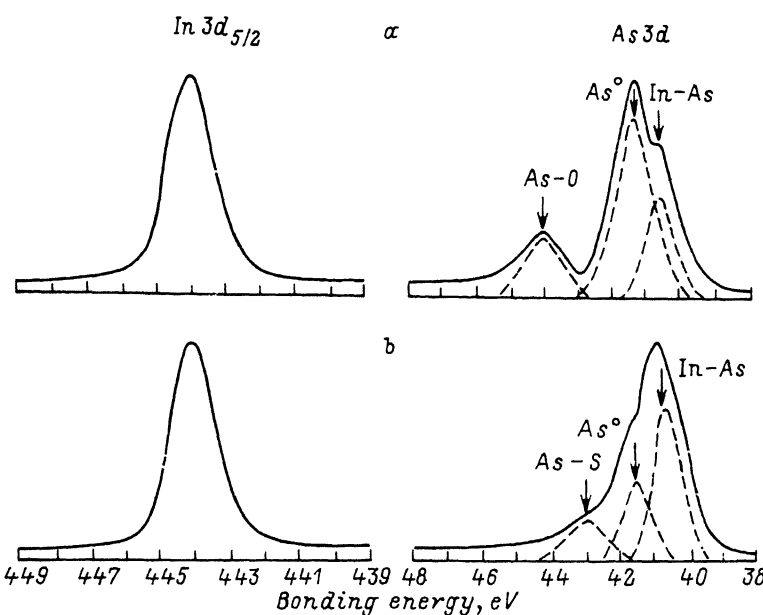


Рис. 6. Фотоэлектронные спектры с высоким разрешением InAs $3d_{5/2}$ - и As 2d-электронов InAs (111)B, снятые до (a) и после (b) сульфидирования.

На рис. 5 представлены обзорные фотоэлектронные спектры поверхности InAs (111)B. Сравнение спектров исходных, несульфидированных, поверхностей (111)A и (111)B показывает, что интенсивность линии As 3d на мышьяковой стороне, т. е. на стороне (111)B, значительно выше, чем на индивой стороне. Однако после сульфидной обработки высота As 3d пика на стороне (111)B уменьшается в 2 раза, и их интенсивности оказываются одинаковыми. Анализ спектров As 3d-электронов, снятых с высоким разрешением (рис. 6), показывает, что общее изменение интенсивности связано с уменьшением интенсивности линии с энергией связи 41.3 эВ, соответствующей элементарному мышьяку As⁰. Так же, как и на стороне (111)A, на стороне (111)B с поверхности исчезает оксид мышьяка As₂O₃ и появляется сульфид мышьяка As₂S₃. В то же время в отличие от стороны (111)A форма и интенсивность линии In 3d_{5/2} на стороне (111)B после сульфидирования не меняются.

Следует отметить, что после сульфидной обработки на поверхности InAs не было обнаружено следов натрия, который присутствовал в пассивирующем растворе. Это означает, что ионы натрия не образуют химических связей с атомами In и/или As и удаляются с поверхности InAs во время промывания полупроводниковой пластины в воде.

3. Обсуждение результатов

Исходная поверхность InAs, покрытая слоем естественного окисла, характеризуется высокой плотностью поверхностных состояний, локализованных по энергии внутри зоны проводимости [6], которые пиннингуют уровень Ферми. Скорость поверхностной рекомбинации в InAs составляет $\sim 10^5$ см/с [7]. Природа поверхностных состояний до сих пор окончательно не выяснена. В настоящее время существуют две основные модели: единая дефектная модель Спайсера [8], трактующая поверхностные состояния как антиструктурные дефекты и/или вакансии в приповерхностной области, и модель Фриуфа [9], объясняющая пиннинг присутствием на поверхности элементарного мышьяка As⁰. Как антиструктурные

дефекты, так и элементарный мышьяк могут образовываться на поверхности в процессе окисления [8, 10].

Данные фотоэлектронной спектроскопии показывают, что после сульфидной обработки заметно уменьшается содержание на поверхности оксидов и As^0 . Причем если сравнить стороны (111)A и (111)B, то фотолюминесценция в большей степени разгорается именно на той стороне, на которой сильнее понижается концентрация как элементарного мышьяка, так и оксидов, т. е. на стороне (111)B. Таким образом, можно предположить, что сульфидирование приводит к снижению плотности поверхностных состояний, а образующиеся при этом сульфиды индия и мышьяка новых состояний не индуцируют. В этом случае возрастание интенсивности фотолюминесценции будет связано со снижением скорости поверхностной рекомбинации и с увеличением за счет этого доли излучательных межзонных переходов.

Оценим величину изменения плотности поверхностных состояний после сульфидной обработки. Распределение концентрации неосновных носителей по толщине образца с учетом поверхностной рекомбинации описывается следующим выражением [11]:

$$p(x) = \frac{G \exp(-x/L_p)}{D/L_p \exp(-x/L_p) - S},$$

где G — темп генерации электронов и дырок, D — коэффициент биполярной диффузии, S — скорость поверхностной рекомбинации. Считая диффузционную длину $L_p = 5$ мкм, а время жизни $\tau_p = 10^{-8}$ с [7], получаем, что для увеличения интенсивности фотолюминесценции в 5—10 раз плотность поверхностных состояний, участвующих в рекомбинации, должна уменьшиться примерно на порядок.

Таким образом, на основании полученных результатов можно утверждать следующее. Сульфидирование поверхности InAs, а также твердых растворов на его основе приводит к существенному улучшению их фотолюминесцентных свойств. Степень возрастания интенсивности фотолюминесценции зависит от ориентации поверхности полупроводника, максимальное увеличение интенсивности наблюдается на поверхности (111)B, а затем, в порядке убывания величины эффекта, на поверхностях (100), (111)A и (110). Сульфидирование поверхности InAs (111) приводит к резкому уменьшению содержания оксидов и появлению на поверхности сульфидов мышьяка: на поверхности (111)A образуются как связи As—S, так и In—S, а на поверхности (111)B — только связи As—S. Наблюдается корреляция между содержанием на поверхности оксидов и элементарного мышьяка и фотолюминесцентными свойствами полупроводника. Сульфидирование приводит к уменьшению примерно на порядок плотности поверхностных состояний, участвующих в рекомбинации.

Авторы считают своим приятным долгом поблагодарить В. Н. Бессолова, М. В. Лебедева и Т. В. Львову за полезные обсуждения, а также выразить искреннюю признательность Б. В. Царенкову за внимание и интерес к этой работе.

СПИСОК ЛИТЕРАТУРЫ

- [1] C. J. Sandroff, R. N. Nottenburg, J.-C. Bischoff, R. Bhat. Appl. Phys. Lett., 51, 33 (1987).
- [2] H. Oigawa, J.-F. Fan, Y. Nannichi et al. Japan J. Appl. Phys., 30, L322 (1991).
- [3] M. Katayama, M. Aono, H. Oigawa et al. Japan J. Appl. Phys., 30, L786 (1991).
- [4] В. Л. Беркович, В. Н. Бессолов, Т. В. Львова и др. ФТП, 25, 1406 (1991).
- [5] А. Алабернов, Н. В. Зотова, Д. Н. Наследов и др. ФТП, 4, 1939 (1970).
- [6] M. S. Daw, D. L. Smith. Sol. St. Commun., 37, 205 (1981).
- [7] J. R. Dixon. Phys. Rev., 107, 374 (1957).
- [8] W. E. Spicer, T. Kendelevicz, N. Newman. Appl. Surf. Sci., 33-34, 1009 (1988).

- [9] J. L. Freeouf, J. M. Woodall. *Appl. Phys. Lett.*, **39**, 727 (1981).
- [10] G. P. Schwartz, G. J. Gualtieri, J. E. Griffiths et al. *J. Electrochem. Soc.*, **127**, 2488 (1980)
- [11] С. Зи. Физика полупроводниковых приборов, т. 1, 455. М. (1984).

Редактор: Ю. Н. Михалев
